

補剛円筒シェルの非線形座屈解析

北海道工業大学 正会員 吉田紀昭

1. 緒言

薄肉シェル構造の座屈につりこの実験値と理論値には従来大きな差があった。理論の方面からの問題としては座屈前変形の座屈解への影響の評価、初期不整の取扱い、補剛材の円筒中央面からの偏心の影響、境界条件についての考慮などがあげられるであろう。本研究では非線形座屈前変形の解析による座屈解、補剛材の偏心などを考慮してストリンガーリングおよび螺旋状に配置された螺旋補剛材(図-1)について定式化を行い円筒の内外面に補剛された場合、および補剛材の組合せなどについて数値解を得た。荷重は軸力およびそのシェル中央面からの偏心、内外圧としシェルは直交異方性体である。境界条件については2種類を考慮し円筒の端部におけるシェル要素としての固定支持、単純支持を考慮し半径方向の変位は端部においては共に零とする。非線形座屈前変形は解析的に陽形で求められるが座屈解析は座屈荷重の高次の非線形となり数値解析によるのであるが安定した数値解を得るために多大工夫を要した。後述するように非線形座屈前変形は端部においてその半径方向変位が著しく現われ一様に半径方向にふくらむとする線形解とは大きく異なる。したがって座屈値にも大きな差がみられる。以下は理論の特徴と思われる部分を上げ、記号については一般的なものには説明を省略する。

2. 支配方程式の誘導

応力-歪関係は直交異方性体の一般的式を用い、歪-変位関係は半径方向変位の2次の項まで含めたものを用いる

$$\epsilon_x = u_{,x} + \frac{1}{2} w_{,x}^2 \quad \epsilon_y = u_{,y} + \frac{w}{R} + \frac{1}{2} w_{,y}^2$$

$$\gamma_{xy} = u_{,y} + v_{,x} + w_{,x} w_{,y} \quad \gamma_{xz} = \gamma_{yz} = 0$$

座標系は図-2参照、支配方程式は総和ポテンシャルエネルギーの変分から得るのであるが補剛材の偏心を考慮するために次のような半径方向の局所変形を考慮した変形式を用いる

$$u = u_0 + z u_{,z} \quad v = v_0 + z v_{,z} \quad w = w_0 + z w_{,z}$$

直交異方性シェルの歪エネルギーは

$$\Pi_S = \frac{1}{2} \int_0^{2\pi R} \int_0^L (N_x \epsilon_x + N_{xy} \gamma_{xy} + N_y \epsilon_y - M_x w_{,xx} \\ + 2M_{xy} w_{,xy} - M_y w_{,yy}) dx dy$$

螺旋補剛材の歪エネルギーは

$$\Pi_H = \frac{1}{2} \int_0^L \int_0^{2\pi R} \left\{ \int_{A_H} E_H \epsilon'_3^2 dA_H + G_H J_H w_{,zz}^2 \right\} dx dy$$

添字Hは螺旋補剛材を意味し、まーを東で表わされる量は例え

ば $u_3 = u \cos \theta + v \sin \theta$ のごとき幾何学的考慮によりシェル中央面におけるX-方向の量に変換される。

$$w_{,zz} = -\frac{1}{2} w_{,xx} \sin 2\theta + w_{,xy} \cos 2\theta + \frac{1}{2} w_{,yy} \sin 2\theta$$

$$\epsilon'_3 = \epsilon_x \cos^2 \theta + \epsilon_y \sin^2 \theta + \gamma_{xy} \sin \theta \cos \theta - z (w_{,xx} \cos^2 \theta + 2w_{,xy} \sin \theta \cos \theta + w_{,yy} \sin^2 \theta)$$

また螺旋補剛材は右廻りと左廻りが対になってるものとある。同様にストリンガーリングの歪エネルギーは

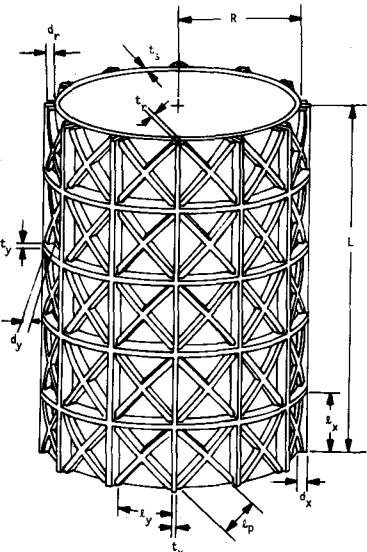


図-1 補剛円筒シェル

$$\Pi_L = \frac{1}{2\epsilon_y} \int_0^L \int_0^{2\pi R} \left\{ \int_{A_L} E_L \epsilon_L^2 dA_L + G_L J_L w_{xy}^2 \right\} dx dy$$

$$\Pi_C = \frac{1}{2J_x} \int_0^L \int_0^{2\pi R} \left\{ \int_{A_C} E_C \epsilon_C^2 dA_C + G_C J_C w_{xy}^2 \right\} dx dy$$

外力によるポテンシャルエネルギー

$$W = \int_0^L \int_0^{2\pi R} p w dx dy + \int_0^{2\pi R} [\hat{N}_x u - \hat{M}_x w_x] dy$$

ただし y は外圧を正、 \hat{N}_x は圧縮力を正とし、 $\gamma = v \hat{N}_x$; $\hat{M}_x = \bar{e} \hat{N}_x$ と表し已は軸力 \hat{N}_x の中央面からの偏心量を含む。補則円筒シェル各部材の重エネルギーおよび外力による仕事より総和ポテンシャルエネルギー

$$\Pi = \Pi_L + \Pi_H + \Pi_C + W$$

平衡式と境界条件式は総和ポテンシャルエネルギーを汎用数とする変分原理によつて誘導するのであるがまよ Π を直と変位をパラメタとする式に変形整理する。すなはち

$$\begin{aligned} \Pi = & \frac{1}{2} \int_0^L \int_0^{2\pi R} \left\{ C_1 \epsilon_x^2 + C_2 \epsilon_y^2 + C_3 \epsilon_x \epsilon_y + C_4 \gamma_{xy}^2 + C_5 w_{xx}^2 + C_6 w_{yy}^2 + C_7 w_{xx} w_{yy} + C_8 w_{xy}^2 \right. \\ & + C_9 \epsilon_x w_{xx} + C_{10} \epsilon_y w_{yy} + 2C_{11} \gamma_{xy} w_{xy} + C_{12} \epsilon_y w_{xx} + C_{13} \epsilon_x w_{yy} \} dx dy \\ & + \int_0^L \int_0^{2\pi R} p w dx dy + \int_0^{2\pi R} [\hat{N}_x u - \hat{M}_x w_x] dy \end{aligned}$$

ここに係数 C は材料定数と幾何形状定数で表される定数係数であり直と変位は總てシェル中央面での量である。平衡方程式と境界条件式は変分法による差分法による大きな数式の計算の結果得られると平衡方程式は

$$N_{x,x} + N_{xy,y} = 0$$

$$N_{y,y} + N_{xy,x} = 0$$

$$-M_{x,xx} + M_{xy,xy} - M_{y,yy} + \frac{1}{R} N_y - N_x w_{xx} - N_y w_{yy} - 2N_{xy} w_{xy} + p = 0$$

境界条件式は

$$N_x + \hat{N}_x = 0$$

または $u = 0$

$$N_{xy} = 0$$

または $v = 0$

$$M_x + \hat{M}_x = 0$$

または $w_x = 0$

$$M_{x,x} - M_{xy,y} + N_x w_{xx} + N_{xy} w_{yy} = 0$$

または $w = 0$

3. 座屈前解析

座屈前においては変位や応力は總て円周方向には一定であると仮定し、境界における軸方向および円周方向の変位は零であるのが座屈解析の対象として一般的であるのでこれを固定する。したがつて平衡方程式の第1, 2式は $N_x = -\hat{N}_x$, $N_{xy} = 0$ と解かれ、結局第3式を境界条件の第3, 4式の下で解くことになる。合応力、合モーメントは総和ポテンシャルエネルギーを直と曲率ひずみ微分して得られ、それらを用いて整理すると平衡式の第3式は座屈前の半径方向変位 w_A のみを未知数とする4階線形常微分方程式となりその一般解は

$$w_A = Y_1 \sin \alpha_1 x \sinh \alpha_2 x + Y_2 \sin \alpha_1 x \cosh \alpha_2 x + Y_3 \cos \alpha_1 x \sinh \alpha_2 x + Y_4 \cos \alpha_1 x \cosh \alpha_2 x + w_A^P$$

w_A^P はひとつ特種解である。積分定数 Y_1 ～ Y_4 は境界条件の第3, 4式に対応して求められるのであるが第4式は $w_A = 0$ に固定して第3式の2つの場合を各々固定および単純支持として進める。座屈前変形の解析例は図-6

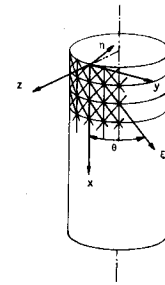


図-2 座標系

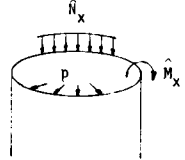


図-3 荷重

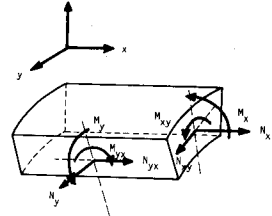


図-4 合応力、合モーメント

図-7に示されたものが円筒の端部に顕著な半径方向変位が現われる。これは解剛体のない場合についてでは実験で確かめられる事実である。線形解析ではこの座屈前の変位を円周方向および軸方向とともに一定であると仮定したものと同値であり後の座屈解析に及ぼす影響はさわめて大きいためこうことが予測されるのである。

4. 座屈解析

(1) 平衡方程式と境界条件式 座屈解析は前節で得られた座屈前の変形の上に座屈時の変形モードを重ねて考えた時の固有値、固有ベクトル解析である。非線形座屈解析では半径方向座屈前変形 w_A が円筒軸に沿って一定となりとして求まる結果、線形解を下限ることは容易に予測される。支配方程式は総て変形前の円筒で立たれたものが座屈時も成立つとする。ただし座屈解析において取扱う変数は座屈前の量と座屈時の量との和として考えなければならぬ。例えば半径方向変位 w については $w = w_A + w_B$ 、軸方向の合応力は $N_x = N_{xA} + N_{xB}$ などのごとくである。添字 B は座屈時の量を表す。これら和の形の変数を平衡方程式、境界条件式などへ代入整理するのであるが座屈時の量についてはその 2 次以上の項を省略する。微分方程式の階数を下げるために座屈時の変位量 u_B v_B w_B の他に曲げモーメント M_{xB} を独立変数として扱う。すると $M_x = -\partial \pi / \partial w_{xx}$ から得られる式

$$M_{xB} + C_5 w_{B,xx} + \frac{1}{2} C_7 w_{B,yy} + \frac{1}{2} C_9 (u_{B,x} + w_{A,x} w_{B,x}) + \frac{1}{2} C_{10} (v_{B,y} + \frac{w_B}{R}) = 0$$

を平衡方程式に加えて合計 4 本となる。

(2) 解の仮定と齊次平衡方程式 4 本の偏微分方程式を解くにあたり円周方向には三角関数による分布を仮定し次のような変数分解形の解を仮定する

$$u_B = U(x) \cos \frac{ny}{R} \quad v_B = V(x) \sin \frac{ny}{R} \quad w_B = W(x) \cos \frac{ny}{R} \quad M_{xB} = M(x) \cos \frac{ny}{R}$$

ここに $U(x)$ $V(x)$ $W(x)$ $M(x)$ は x のみの関数であり、これは円周方向の分布波数である。これらの仮定された解を平衡式、境界条件式に代入すると 2 階線形常微分方程式が得られる。これらの連立線形常微分方程式を差分式を用いて解く。まず最初

$$Z_i' = \frac{Z_{i+1} - Z_{i-1}}{2 \Delta x} \quad Z_i'' = \frac{Z_{i+1} - 2Z_i + Z_{i-1}}{\Delta x^2}$$

ただし $Z_i = (U_i \ V_i \ W_i \ M_i)^T$ は軸方向に i 番目の差分点における未知量のベクトルであり、 i 番目の差分式は

$$[A_i] Z_{i-1} + [B_i] Z_i + [C_i] Z_{i+1} = 0$$

4×4 の係数行列 A_i B_i C_i は前述の定数係数 C および n \hat{N}_x w_A を含む。さらに齊次境界条件式を含め、座屈方程式の形は

$$\begin{bmatrix} E_0 & F_0 \\ A_1 & B_1 & C_1 \\ \vdots & & \\ A_2 & B_2 & C_2 \\ \vdots & & \\ A_{N-1} & B_{N-1} & C_{N-1} \\ D_N & E_N \end{bmatrix} \begin{bmatrix} Z_0 \\ Z_1 \\ \vdots \\ Z_2 \\ \vdots \\ Z_{N-1} \\ Z_N \end{bmatrix} = 0$$

(3) 非線形固有値問題 座屈問題の一一般的形として連立齊次方程式が導かれた。この係数行列の成分は座屈前変形 w_A などの関数であるため座屈荷重 \hat{N}_x の高次の非線形関数であると言えることができる。したがってこの係数行列の行列式が零となるような \hat{N}_x のうちその値の最小のものを求めることになる。ベクトル Z はその時の座屈モードを与える。係数行列を H 、座屈荷重を入力とすると座屈方程式は $H(\lambda) Z = 0$ と書ける。この係数行列をある仮定値入の周りで Taylor 展開し高次の項を落して近似式を得、反復計算によって入と出

の数値解を求める。 r 回目の反復の式は

$$H(\lambda_0) \left\{ \frac{\bar{Z}}{\Delta \lambda} \right\}^{(r)} = - \left[\frac{\partial H(\lambda_0)}{\partial \lambda} + \Delta \lambda^{(r-1)} \frac{1}{2} \frac{\partial^2 H(\lambda_0)}{\partial \lambda^2} \right] \bar{Z}^{(r-1)}$$

この連立一次方程式を解き、さらに変位ベクトル \bar{Z} を1に正規化しておくと入力の補正量 $\Delta \lambda$ は

$$\Delta \lambda^2 = 1 / \left\{ \frac{\bar{Z}}{\Delta \lambda} \right\}^T \left\{ \frac{\bar{Z}}{\Delta \lambda} \right\}$$

また $\Delta \lambda$ の正しい符号を与えることは重要でありここでは Rayleigh の商からその符号を判定する、すなわち

$$\Delta \lambda^{(r)} = - \bar{Z}^{(r-1)T} \left[\frac{\partial H(\lambda_0)}{\partial \lambda} \right] \bar{Z}^{(r-1)} / \bar{Z}^{(r-1)T} \left[\frac{\partial H(\lambda_0)}{\partial \lambda} + \Delta \lambda^{(r-1)} \frac{1}{2} \frac{\partial^2 H(\lambda_0)}{\partial \lambda^2} \right] \bar{Z}^{(r-1)}$$

以上で述べた方法には $H(\lambda)$ の入での偏微分形が必要でありこれを陽な形で求めておく。部分行列 A_i, B_i, C_i などとの2回微分まで必要であり座屈前条件 w_A およびその微分 w_A', w_A'' などの入につけてこの偏微分形も計算されなければならぬが繁雑ではあるが困難はない。ここではページの制限上すべて割愛する。

5. 数値計算例

(1) 実験値との比較計算 解析理論などの妥当性を確かめるため補剛材つき円筒シェルの数少ない実験例から NASA で行なわれた縦補剛材つき実験と計算値とを比較すると図-5 のようである。補剛材が円筒外面についた場合の座屈荷重の増加は顕著である。実験値との差は理論値における近似や反復計算による誤差などがあり実験の方からみると境界条件や初期不整による影響が含まれているものと思われる。特に内側に補剛材のついた場合の実験値は2種類の境界条件による理論解の中間に位置していることから実験における境界条件と理論との差が現われてゐると推測される。理論解は円筒の長さが増すと座屈値が漸減してゆく様子を示しており、2種類の境界条件の差が長さの増大とともにあって漸減してゆく様子も認められる。

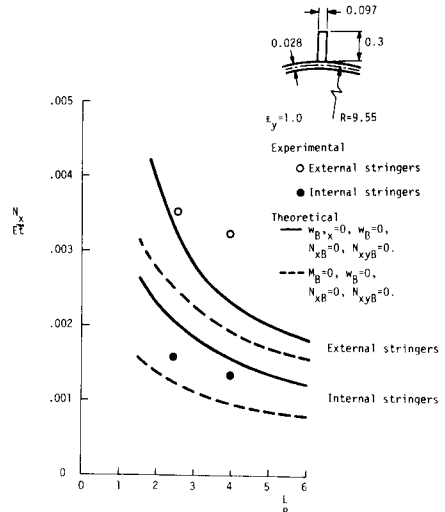


図-5 縦補剛円筒シェルの計算値と実験値

表-1 座屈解析例 $L = 96.5$ $R = 24.3$ 単位 Kg, cm

	縦補 横補	複補	内压	偏心	境界	l_x	t_y	t_s	t_x	d_x	t_y	d_y	t_r	d_r	w	\bar{w}	\hat{N}_x	
1	内	内	一	無	無	单	3.27	1.13	0.049	0.016	-0.461	0.054	-0.40		2.54	0.062	150	
2	内	内	一	有	無	固	3.57	1.48	0.056	0.013	-0.66	0.027	-0.38		2.64	0.064	149	
3	外	外	一	無	無	单	4.38	0.77	0.038	0.019	0.39	0.135	0.26		2.28	0.055	158	
4	外	外	一	有	有	单	3.75	0.31	0.020	0.045	0.47	0.033	0.19		3.74	0.091	158	
5	外	内	一	無	無	单	3.80	0.64	0.042	0.018	0.45	0.347	-0.07		2.51	0.061	149	
6	—	—	内	無	無	单	3.83	2.56	0.038				0.026	-0.64	2.21	0.054	153	
7	—	—	外	有	有	单	6.11	1.73	0.063				0.048	0.69	4.19	0.102	192	
8	外	外	外	無	無	单	4.33	0.60	0.031	0.009	0.47	0.044	0.43	0.014	0.13	2.00	0.049	149
9	外	外	外	有	有	单	3.65	0.89	0.040	0.061	0.59	0.019	0.22	0.003	0.03	3.37	0.082	156
10	内	内	外	有	有	单	5.70	0.77	0.041	0.003	-0.13	0.025	-0.13	0.038	0.52	3.77	0.091	144

(2) 補剛材別の座屈解析例 ストリンガ、リンク、および螺旋施補剛材の円筒内面および外面への配置またこれら補剛材の組合せによる解析を行い荷重として軸力のみをかけた場合と均圧を合せ作用させた場合、また軸力に偏心を与えた場合の数例を表-1 にまとめた。比較の基準としては全体座屈に合せて補剛材自身の座屈補剛材で囲まれた円筒シェル部分の局部座屈解析（本稿では省略）を行い手えられた外力に耐える補剛材およびシェル板厚を求めてその寸法や重量などを比較するものである。典型的な座屈前変形図と全体座屈変形モード図は図-6, 7 に示されています。

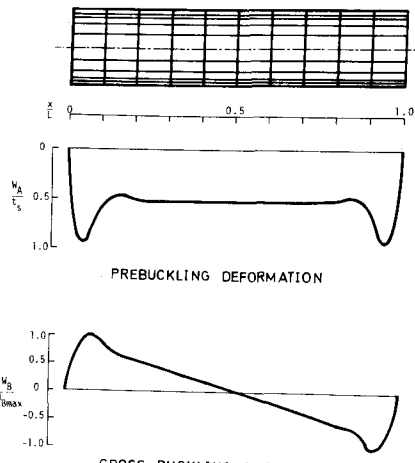


図-6 縦横補剛円筒の解析例

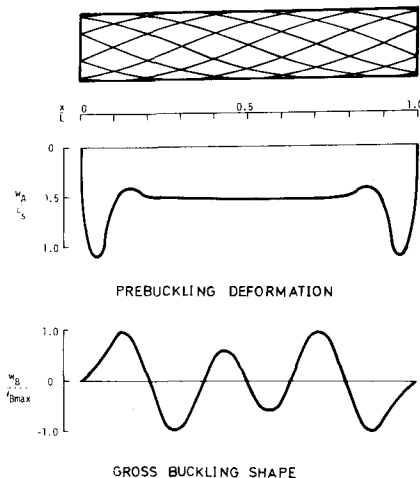


図-7 螺旋補剛円筒の解析例

6. 結 言

非線形座屈解析を行うことにより補剛円筒シェルにあっても座屈前変形が円筒端部に著しく現われることが理論的に確認された。その結果として従来の線形解析による座屈荷重よりも 5~30% 位減少した値が得られ種々の補剛材や円筒の形状などにつれてより多くの研究による一般的な結論を得ることが必要である。総和やテンシャルエネルギーによる差式化により螺旋補剛材の考慮が比較的容易になされ螺旋補剛材の有効性が誤められた。非線形固有価問題を解くにあたって Taylor 展開による 2 次の近似式を反復する方法によりほぼ容易に解が得られるようになったのであるが数値解析的には改良されるのはこの奥であろう。

参考文献

- Stein, M., The Influence of Prebuckling Deformations and Stresses on the Buckling of Perfect Cylinders, NASA R-190 1964
- Card, M. and Jones, R., Experimental and Theoretical Results for Buckling of Eccentrically Stiffened Cylinders, NASA TN D-3639 1966
- Yoshida, N., Modified Davidon's Variable Metric Method for Structural Optimization, 14th Int. Conf. on Theor. and Appl. Mech. Delft 1976